

北大工 正員 ○ 黒木 幹男
北大工 正員 岸 力

1. はじめに 河床安定理論によって砂州の発生限界を求めるようとする試みは、これまでにも多くの研究が行なわれ、次第に発生のメカニズムが明らかにされて来ている。しかし定理によると結果の多くは、河床に起きた擾乱の波長が主要なパラメータとなっており、次元解析的分領域区分が行なわれる。すなはち平均的な水理量との関係についてまだ充分な説明がなされていない。本報告は、初期増中率が最大になる河床擾乱が卓越するとして仮定して、ボテンシャル流を用いた河床安定理論によって、砂州の非発生限界、單列砂州と複列砂州の遷移限界と水理量との関係を考察したものである。

2. 理論的考察の概要 本報告では林¹⁾の蛇行発生理論に若干の修正をして考察を行なつた。主な修正点は以下に記す通りであり、記号は林と同様である。

林は流砂の主流方向成分を $T' = \bar{T} \pi / \Gamma$ としており、河床に二重周期運動の擾乱を考慮した場合、砂粒の運動方向と流向とは剪断力の方向との間にほゞれが生じると考へられ、 T' を次式の形に修正した。

$$T' = \bar{T}' \left(\frac{U}{U} - d_2 \cdot \frac{\partial \eta}{\partial z} \right) \quad (1)$$

\bar{T}' と式(1)の形は表わさず、河床波の初期増中率 Γ (林と同様に $A(\rho)mg^2d/C$ の割合比値で示す) は次式の形に書き換えてある。

$$\Gamma = F^2 K_a^2 \left\{ C - 2 \frac{F^2 K_a^2}{\rho} \cdot \frac{1 - (F^2 K_a^2 / \rho) \tanh \beta}{\tanh \beta - (F^2 K_a^2 / \rho)} - C \frac{d_2}{d} \cdot \left(\frac{1}{k} \right)^2 \right\} \quad (2)$$

即ち、右辺第3項成新石に加わる $= C$ である。

$= C$ 、 $1/d = m\pi d/B$ と定義する。 m は河床波の主流方向の分割数であり、 $m=1$ が單列砂州、 $m \geq 2$ が複列砂州に生じるに対応する。

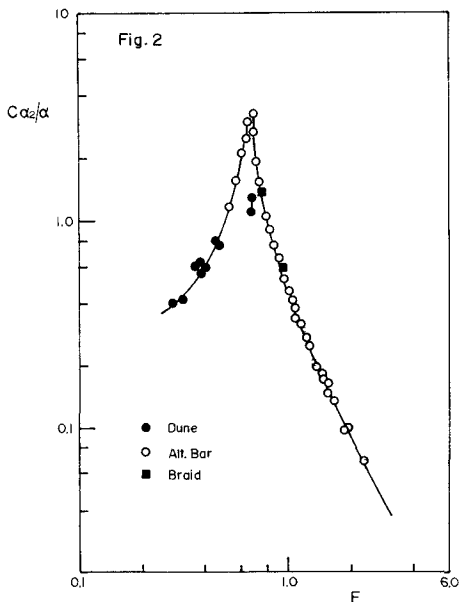
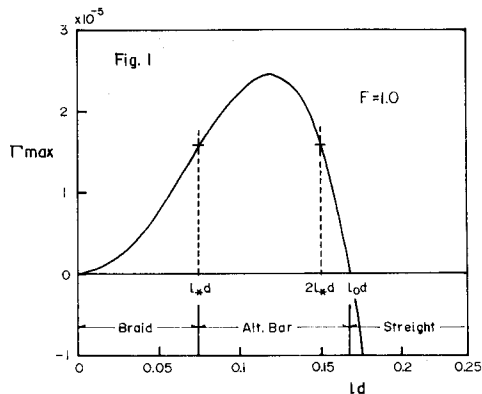
$1/d$ が零より大きいとき、初期増中率が最大値 Γ_{max} 、擾乱が卓越するとき、 Γ_{max} と $1/d$ に対する変化を調べてみると林理論では単調増加するのに對し、式(2)からは図-1の林と比べて持つ下曲線が得られる。図-1に示す様に l_{ad} 、 l_{od} を定めると、

$$\pi d/B < l_{ad}$$

$$l_{ad} < \pi d/B < l_{od}$$

$$\pi d/B > l_{od}$$

複列砂州 ($m \geq 2$) 発生領域
單列砂州 ($m=1$) 発生領域
砂州非発生領域



(3)

従つて、 I_{ed} , I_{od} の値が判れば、砂州の発生限界を求めることが可能である。この解析取扱い方法は Engelund²⁾による最初に提案されたもので、Engelund は自著にて具体的な計算を行なつておられる。

I_{ed} , I_{od} を求めた上で、 d_s , S , d_2 を知らずして何等かである。すなはち河床形状と流速又は剪断力との間の相違、 S は流砂量と流速又は剪断力との間の相違が無い、河床安定理論の組立式の上で主要な μ と C_d であるが、現在これらに付する知識は完全でない。又、 d_2 は Engelund³⁾, 吉川⁴⁾ によって弯曲流路の安定河床に関する研究を参考にすれば、次式(4), (5) が成立する。

$$1/d_2 = \mu \quad \dots \dots \dots (4), \quad 1/d_2 = \sqrt{\frac{3}{4} \cdot \frac{\mu C_d}{1 + \mu (C_d/C_u)} \cdot \frac{P}{P_s - P} \cdot \frac{1}{d_s} \cdot F} \quad \dots \dots \dots (5)$$

ここで F は砂の係数を用いた半用い式である。実験値を用いて C_d/d の値を推定し図-2 の結果を得た。

3. 砂州河床の発生領域

図-2 の結果を用いて、 F とともに I_{ed} , I_{od} の値が決まり、砂州河床の発生領域は下記 B/d の分帯に表わすことができる。図-3 に求めた発生限界線と実験値の比較を示しておきたい。

非発生限界線 1 は ripple, 遷移河床、單列砂州河床の混在する領域とし、單列砂州河床のみの発生領域を下記に区分する位置に引かれている。

しかし限界線上左側に多列砂州の資料が含まれており、砂州の非発生限界としては必ずしも完全でない。單列砂州と複列砂州の遷移限界線は上記元より。実験値との適合度は比較的良好である。

4. 車越蛇行波長 初期増率が最大の擾乱成車越波をえたとして求めた車越蛇行波長の一例を図-4 に示す。実験値は理論式を用いて示す。山下⁵⁾は单列砂州河床に対するもので、初期の波長が次第に増大し、安定した河床波に近づくことを実験的で確かめている。しかし、理論的に予想される車越波の形状は主として d_s , S , d_2 などとの量に依存している。

上述の取扱いを直ちに否定するものではない。

発達過程を含め、これらの量と村本⁶⁾の理論的実験的方略を併せて、今後の課題としたい。

本研究の一部は文部省科学研究費(一般)、補助金を受けておる。又、計算上当り工作は名古屋大学院荒井信行君の協力を得た。共に記して謝意を表す。

参考文献 1) 林泰造; 土木学会論文集 180号, 1970.

2) Engelund & Skovgaard; J. Fluid Mech. vol. 57-2, 1973

3) Engelund; J. Fluid Mech. vol. 72-1, 1975

4) 吉川秀夫他; 土木学会論文集 251号, 1976

5) 村本嘉雄他; 土木学会論文支節半講, 1978.

